

愛媛大学工学部 正会員 大久保 穎二  
愛媛大学大学院 学生員 和多田 康男

1 まえがき 従来、構造物の最適設計法に関する研究は弾性理論に基づく研究がほとんどであり、非線形挙動を示す構造物の最適設計法に関する研究はきわめて少ないので現状である。本研究は、材料の非線形性を考慮した構造物の最適設計を、エネルギー原理に基づき SLP (逐次線形計画法) を用いて行う方法について基礎的な検討を行ったものである。

2 エネルギ原理に基づく最適化問題の定式化 エネルギ原理に基づく構造物の解析法には、ポテンシャルエネルギー最小化に基づく方法とコンフリメンタリエネルギー最小化に基づく方法があるが、本研究では後者に着目し材料の非線形性を考慮したトラス構造物の最適化問題を考える。

一般に、 $n$  個の部材を有するトラス構造物全体のコンフリメンタリエネルギー  $\Pi_c$  は部材力  $P = [P_1, \dots, P_n]^T$  と断面積  $A = [A_1, \dots, A_n]^T$  の関数として次式で表わされる。

$$\Pi_c(P, A) = \sum_{i=1}^n \beta_i(P_i, A_i) l_i A_i \quad (1)$$

ここに、 $\beta_i(P_i, A_i)$ 、 $l_i$  はそれぞれ部材  $i$  の単位体積当りのコンフリメンタリエネルギーおよび部材長である。

最小コンフリメンタリエネルギーの原理によれば、未知変数として部材力  $P$  を考慮し、各可動節点における力の釣合条件式のもとで  $\Pi_c$  を最小にするような部材力  $P^*$  が構造物の真の部材力になる。

一方、トラス構造物の最適設計における目的関数としてトラス全体の重量を考慮すると、目的関数は断面積  $A$  の関数として次のように表わされる。

$$W(A) = \sum_{i=1}^n P_i l_i A_i \quad (2)$$

ここに、 $P_i$  は部材  $i$  の単位体積当りの重量である。したがって、コンフリメンタリエネルギー最小化に基づく方法によりトラス構造物の重量を最小にする問題は次のように定式化することができる。

$$\left. \begin{array}{ll} \text{Find } P, A & \text{such that } \Pi_c(P, A) \rightarrow \min., \quad W(A) \rightarrow \min. \\ & \text{subject to } g = F - CP = 0 \end{array} \right\} \quad (3)$$

ここに、 $g = [g_1, \dots, g_m]^T$  ( $m$ : 自由度の数) は各可動節点における釣合条件式、 $F = [F_1, \dots, F_m]^T$  は各可動節点に作用する外カベクトル、 $C$  は  $P$  の  $F$  方向への変換マトリックスである。

ところで、図-1 に示すような非線形性を有する材料を使用した場合、部材  $i$  のコンフリメンタリエネルギー  $\Pi_c(P_i, A_i)$  および重量  $W(A_i)$  は次のようになる。

$$\left. \begin{array}{l} \Pi_c(P_i, A_i) = \left\{ \begin{array}{ll} \frac{P_i^2 l_i}{2 E_1 A_i} & (P_i \leq P_e) \\ \frac{P_e l_i}{2 E_1 A_i} (2 P_i - P_e) + \frac{(P_i - P_e)^2 l_i}{2 E_2 A_i} & (P_i > P_e) \end{array} \right\} \\ W(A_i) = P_i l_i A_i \end{array} \right\} \quad (4)$$

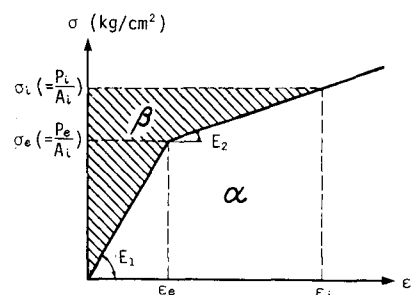


図-1 応力とひずみの関係

式(4)から明らかなように、断面積  $A_i$  が増加するとコンフリメンタリエネルギー  $\Pi_c(P_i, A_i)$  は単調に減少するが、重量  $W(A_i)$  は単調に増加する。したがって一般に  $\Pi_c(P, A)$  の最小化と  $W(A)$  の最小化は断面積  $A$  に関して相矛盾した関係にある。そこで本研究では各部材の許容応力度  $\sigma_a = [\sigma_{a1}, \dots, \sigma_{an}]^T$  を用いて断面積  $A$  を部材力  $P$  で表わし、

式(3)の最小化問題を  $\mathbb{P}$  のみの関数として表現し、次のような最小化問題を導入した。すなわち

$$\left. \begin{array}{l} \text{Find, } \mathbb{P}, \text{ such that } \Pi_c(\mathbb{P}) \rightarrow \min, \quad W(\mathbb{P}) \rightarrow \min \\ \text{subject to} \quad g = F - CP = 0 \end{array} \right\} \quad (5)$$

式(5)の最小化問題において、  $W(\mathbb{P})$  を最小にするような  $\mathbb{P}$  を求め、その  $\mathbb{P}$  が  $\Pi_c(\mathbb{P})$  をも最小化しなければならないということは、  $\Pi_c(\mathbb{P})$  を最小にする  $\mathbb{P}$  を求めて  $W(\mathbb{P})$  を最小化することと等価である。 $\mathbb{P}$  が与えられれば  $W(\mathbb{P})$  の最小値は  $A$  を次式により決定することによって得られる。

$$\mathbb{P} = \sigma_a^T A \quad (6)$$

したがって式(5)は次のような問題に変換することができる。

$$\left. \begin{array}{l} \text{Find } \mathbb{P}, \text{ such that } \Pi_c(\mathbb{P}) \rightarrow \min \\ \text{subject to} \quad g = F - CP = 0, \quad \mathbb{P} = \sigma_a^T A \end{array} \right\} \quad (7)$$

3 SLPによる最適設計アルゴリズム 本研究では、式(7)の最小化問題を SLP<sup>2)</sup>を利用して次のようなアルゴリズムで解くこととした。

①  $\Pi_c(\mathbb{P})$  および  $g$  のみを考慮して次のような線形近似問題を導入し、これを LP の手法により解き  $\mathbb{P}$  の変化量  $d\mathbb{P}$  を求める。

$$\left. \begin{array}{l} \text{Find } d\mathbb{P}, \text{ such that } \nabla \Pi_c^T d\mathbb{P} \rightarrow \min \\ \text{subject to} \quad g_0 - C d\mathbb{P} = 0 \end{array} \right\} \quad (8)$$

ここに、  $\nabla \Pi_c = [\partial \Pi_c / \partial P_1, \dots, \partial \Pi_c / \partial P_n]^T$

②  $\mathbb{P} = \mathbb{P} + d\mathbb{P}$  とし、式(6)により各部材の最小断面積  $A_i$  を求める。

③ ②で改良した断面積  $A$  を用いて再び式(8)の近似問題を作成し、  $\mathbb{P}$  および  $A$  が一定値に収束するまで ①、 ②の操作を繰り返す。

#### 4 最適設計例および考察 前節までに述べた方法により種々の不静定ト

ラスの最適設計を行い、 Dual approach によって得られる最適値との比較を行った。図-1 のように非線形材料において  $E_1 = 2000000 \text{ kg/cm}^2$ ,  $E_2 = 100000 \text{ kg/cm}^2$ ,  $\sigma_e = 2000 \text{ kg/cm}^2$  と仮定し、  $P_i = 1.0 \text{ kg/cm}^3$ ,  $\sigma_{ai}$  は各部材同一として図-2 に示す 3, 6, 10 部材トラスの最適設計を行った結果を表-1 に、また 6 部材トラスにおける収束状況を図-3 に示す。いずれのトラスの設計においても不要部材の断面積がその下限値  $0.1 \text{ cm}^2$  に収束し、材料の線形性や非線形性にかかわらず静定構造系に収束している。また、 Dual approach によって得られた最適値（表-1 (1) 内）とも一致しているので全般的な最適解であり、本研究で提案した方法により応力制限のみを考慮した場合の非線形トラス構造物の最適設計が可能であることが明らかとなった。このようにエネルギー原理に基く最適設計法は、コンアリ

メンタリエネルギーの最小化を考慮す

ることにより材料の線形性や非線形性に関係なく定式化できる上、構造物の非線形解析を行う過程で重量の最小化も行うので、通常の非線形解析と同程度の計算量で最適解まで決定できるところに大きな特長がある。

参考文献1) 鷺津久一郎「エネルギー原理入門」培風館 1980

2) 大久保謙二「構造設計における Optimizer Subroutine Library

の作成」昭和58年度科学研究費補助金(試験研究(1))研究  
成果報告書

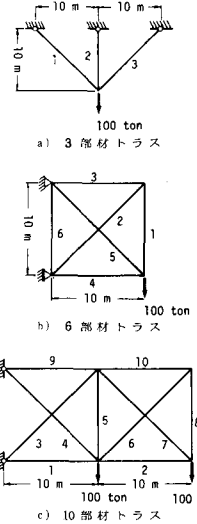


図-2 トラス構造物の形状

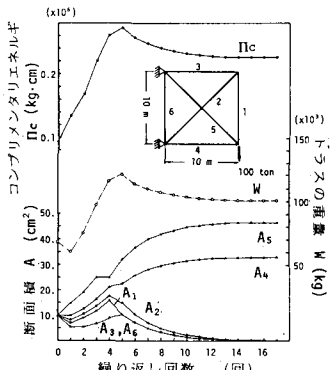


図-3 6部材トラスの収束状況

表-1 各トラス構造物の最適値

部材	初期価	断面積 (cm <sup>2</sup> )										重 量 (x10 <sup>3</sup> kg)	ITE (回)	CPU (秒)	材 料
		A <sub>1</sub>	A <sub>2</sub>	A <sub>3</sub>	A <sub>4</sub>	A <sub>5</sub>	A <sub>6</sub>	A <sub>7</sub>	A <sub>8</sub>	A <sub>9</sub>	A <sub>10</sub>				
3 部 材	$\sigma_a = 1500$	10.0	10.0	10.0	10.0	10.0	10.0	10.0	10.0	10.0	10.0	(68.07)	22	0.27	線形
	$\sigma_a = 3000$	0.1	66.6	0.1	—	—	—	—	—	—	—	33.59	15	0.24	線形
	$\sigma_a = 3000$	0.1	33.3	0.1	—	—	—	—	—	—	—	33.50	22	0.28	非線形
6 部 材	$\sigma_a = 1500$	0.1	0.1	0.1	66.6	24.2	0.1	—	—	—	—	200.29	24	0.58	線形
	$\sigma_a = 3000$	0.1	0.1	0.1	33.3	47.1	0.1	—	—	—	—	100.28	23	0.54	線形
	$\sigma_a = 3000$	0.1	0.1	0.1	33.3	47.0	0.1	—	—	—	—	100.23	23	0.57	非線形
10 部 材	$\sigma_a = 1500$	133.5	66.5	94.0	49.6	0.1	0.2	94.1	0.1	733.57	34	1.88	線形		
	$\sigma_a = 3000$	66.7	33.3	47.1	47.2	0.1	0.1	47.1	0.1	66.6	0.1	367.01	44	2.28	線形
	$\sigma_a = 3000$	66.8	33.2	47.0	47.3	0.1	0.1	47.0	0.1	66.6	0.1	366.81	32	1.77	非線形

1) 緩解を得るために必要な繰り返し回数 2) FACOM M180/EAD による計算時間 3) 断面応力度 (kg/cm<sup>2</sup>)  
注: ( ) 内は Dual Approach による解である。